

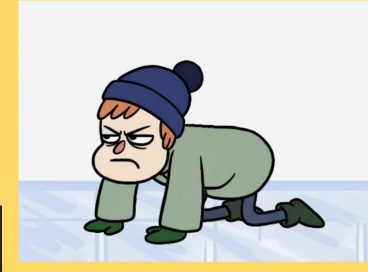


RL 2-02

DQN

Начнем в 20:01

Как объяснить инопланетянину
разницу между глаголами
“ползти” и “скользить”?



Reward hacking

Как объяснить инопланетянину
разницу между глаголами
“ползти” и “скользить”?



Зачем?

arXiv:1803.03453v4 [cs.NE] 21 Nov 2019

The Surprising Creativity of Digital Evolution: A Collection of Anecdotes from the Evolutionary Computation and Artificial Life Research Communities

Joel Lehman^{1†}, Jeff Clune^{1, 2‡}, Dusan Misovic^{3§}, Christoph Adami⁴, Lee Altenberg⁵, Julie Beaufort-Perez⁶, Peter J Bentley⁷, Samuel Bernard⁸, Guillaume Beslon⁹, David M Bryson⁴, Patryk Chrabaszcz¹¹, Nick Cheney², Antoine Cully¹², Stephane Donceux¹³, Fred Dyer⁴, Kai Olav Ellefsen¹⁴, Robert Feldt¹⁵, Stephan Fischer¹⁶, Stephane Forrest¹⁷, Antoine Frénoy¹⁸, Christian Gagné⁶, Leni Le Goff¹³, Laura M Grabski¹⁹, Babak Hodjat²⁰, Frank Hutter¹¹, Laurent Keller²¹, Carole Knibbe⁹, Peter Kraljic²², Richard E Lenski⁴, Hod Lipson²³, Robert MacCurdy²⁴, Carlos Maestre¹³, Risto Miikkulainen²⁶, Sara Mitri²¹, David E Moriarty²⁷, Jean-Baptiste Mouret²⁸, Anh Nguyen², Charles Ofria⁴, Marc Parizeau⁶, David Parsons⁹, Robert T Pennock⁴, William Pugh⁴, Thomas S Ray²⁹, Marc Schoenauer³⁰, Eric Schulze¹⁷, Karl Sims, Kenneth O Stanley^{1, 31}, François Taddei³, Danesh Tarapore³², Simon Thibault⁶, Westley Weimer³³, Richard Watson³⁴, Jason Yosinski¹

†Organizing lead authors

1 Uber AI Labs, San Francisco, CA, USA

2 University of Wyoming, Laramie, WY, USA

3 Center for Research and Interdisciplinarity, Paris, France

4 Michigan State University, East Lansing, MI, USA

5 University of Hawaii's Manoa, HI, USA

6 Université Laval, Quebec City, Quebec, Canada

7 University College London, London, UK

8 INRIA, Institut Camille Jordan, CNRS, UMR5208, 69622 Villeurbanne, France

9 Université de Lyon, INRIA, CNRS, LIRIS, UMR5205, INSA, UCBL, Lyon, France

10 French Institute of Petroleum, Rueil-Malmaison, France

11 University of Freiburg, Freiburg, Germany

12 Imperial College London, London, UK

13 Sorbonne Universités, UPMC Univ Paris 06, CNRS, Institute of Intelligent Systems and Robotics (ISIR), Paris, France

14 University of Oslo, Oslo, Norway

15 Chalmers University of Technology, Gothenburg, Sweden

16 INRA, Jouy-en-Josas, France

17 University of New Mexico Albuquerque, NM, USA

18 Institute of Integrative Biology, ETH Zürich, Switzerland

19 State University of New York at Potsdam, NY, USA

20 Senticient Technologies, San Francisco, CA, USA

21 Department of Fundamental Microbiology, University of Lausanne, 1015, Lausanne, Switzerland

22 Charles University Prague, Prague, Czech Republic

23 Columbia University, New York, NY, USA

24 University of Colorado, Boulder, CO, USA

25 Université de Pau, Pau, France

26 University of Texas at Austin, Austin, USA

27 Apple Inc.

28 Inria Nancy Grand - Est, Villers-lès-Nancy, France

29 University of Oklahoma, Norman, Oklahoma

30 Inria, Université Paris-Saclay, France

Evolving Virtual Creatures

Karl Sims

Thinking Machines Corporation
245 First Street, Cambridge, MA 02142

Abstract

This paper describes a novel system for creating virtual creatures that move and behave in simulated three-dimensional physical worlds. The morphology of creatures and the neural systems for controlling their muscle forces are both generated automatically using genetic algorithms. Different fitness evaluation functions are used to direct simulated evolutions towards specific behaviors such as swimming, walking, jumping, and following.

A genetic language is presented that uses nodes and connectives to define the morphology and behavior of creatures which are used to describe both the morphology and the neural circuitry of these creatures. This genetic language defines a hyperspace containing an indefinite number of possible creatures with behaviors, and when it is searching using optimization techniques, a variety of successful and interesting locomotion strategies emerge, some of which would be difficult to invent or build by design.

1 Introduction

A classic trade-off in the field of computer graphics and animation is that of complexity vs. control. It is often difficult to build interesting or realistic virtual entities and still maintain control over them. Sometimes it is difficult to build a complex virtual world at all, if it is necessary to conceive, design, and assemble each component. An example of this is the creation of a creature vs. dynamic simulation. If we directly provide the position and angles for moving objects, we can control each detail of their behavior, but it might be difficult to achieve physically plausible motions. If we instead force forces and torques and simulate the resulting dynamics, the result will probably look correct, but then it can be very difficult to control the desired behavior, especially if the objects we want to control become more complex. Methods have been developed for dynamically controlling specific objects to successfully crawl, walk, or even run [11, 12, 16], but a new control algorithm must be carefully designed each time a new behavior or morphology is desired.

Optimization techniques offer possibilities for the automatic generation of complexity. The genetic algorithm is a form of artificial evolution and can be used as a search method for optimization. A Darwinian "survival of the fittest" approach is employed to search for optima in large multidimensional spaces [5, 7]. Genetic algorithms permit virtual entities to be created without requiring an understanding of the procedures or parameters used to generate them. The measure of success, or *fitness*, of each individual can be

Permission to make digital or hard copies of part or all of this work or personal or classroom use is granted without fee provided that copies are not made or distributed for profit or commercial advantage and that copies bear this notice and the full citation on the first page. To copy otherwise, to republish, to post on servers, or to redistribute to lists, requires prior specific permission and/or a fee.
SIGGRAPH '94, July 24-29, Orlando, Florida
© ACM 1994 ISBN: 0-89791-667-0...\$5.00

calculated automatically, or it can instead be provided interactively by a user. Interactive evolution allows procedurally generated results to be modified rapidly through changes to one of the most aesthetically desirable for any application [2, 18, 19, 21].

The user sacrifices some control when using these methods, especially when the fitness is procedurally defined. However, the potential gain in automating the creation of complexity can often compensate for this loss of control, and a higher level of user influence is still maintained by the fitness criteria specification.

A genetic language is presented that uses nodes and connectives to define the morphology and behavior of creatures which are used to describe both the morphology and the neural circuitry of these creatures. This genetic language defines a hyperspace containing an indefinite number of possible creatures with behaviors, and when it is searching using optimization techniques, a variety of successful and interesting locomotion strategies emerge, some of which would be difficult to invent or build by design.

The work presented here is related to these projects, but differs in several respects. In previous work, control systems were generated for fixed structures that were user-designed, but here entire creatures are evolved: the optimization determines the creature morphology as well as its control systems. Also, here the creatures are highly articulated and can move in three dimensions. The three-dimensional physical structure of a creature can adapt its control system, and vice versa, as they evolve together. The "nervous systems" of creatures are also completely determined by the optimization: the number of internal nodes, the connectivity, and the type of function each neural node performs are included in the genetic description of each creature, and can grow in complexity as the creature evolves. To facilitate this, the genetic language allows a user to provide any specific creature information such as shape, size, joint constraints, sensors, actuators, or internal neural parameters. Finally, here a developmental process is used to generate the creatures and their control systems, and allows similar components (including local neural circuits) to be defined once and then applied in instances of required size to be separately specified. This approach is related to 1-systems, graftal grammars, and object instancing techniques [6, 8, 10, 13, 20].

It is convenient to use the biological terms *genotype* and *phenotype* when discussing artificial evolution. A *genotype* is a coded representation of a possible biological or programmatic solution. In biological systems, a genotype is usually composed of DNA which contains the instructions for the development of an organism. Genetic algorithms typically use populations of genotypes consisting of strings of binary digits or parameters. These are read to produce *phenotypes* which are then evaluated according to some fitness criterion and selectively reproduced. New genotypes are generated by copying, mutating, and/or combining the genotypes of the most fit individuals, and as the cycle continues the population should ascend to higher and higher levels of fitness.

Variable length genotypes such as hierarchical Lisp expressions

<https://arxiv.org/abs/1803.03453>

<https://www.karlsims.com/papers/siggraph94.pdf>

Экзотический пример №1

Как?

- Создали виртуальный мир с гравитацией и трением
- Расположили в нем виртуальное существо:



Кубическая голова с
мотором и запасом
энергии

Шарниры, соединяющие блоки, которые могут
блокироваться, а могут оставаться подвижными

Экзотический пример №1

Хотели, чтобы виртуальное существо само избрело ползание.

- Поэтому каждый раз ставили его на старт.
- Запускали таймер.
- Чем дальше за 5 секунд хвост оказывался от старта, тем большее “поощрение” получало существо.



Экзотический пример №1

Однако, первые попытки провалились. Потому что существо нашло способ выполнять задачу гораздо проще

- Поэтому каждый раз ставили его на старт.
- Запускали таймер.
- Чем дальше за 5 секунд хвост оказывался от старта, тем большее “поощрение” получало существо.



Экзотический пример №1

Однако, первые попытки провалились. Потому что
существо нашло способ выполнять задачу гораздо проще

- Поэтому каждый раз ставили его на старт.
- Запускали таймер.
- Чем дальше за 5 секунд хвост оказывался от старта, тем большее “поощрение” получало существо.

Виной тому как раз нечеткая постановка задачи, определение.

Попытайтесь догадаться, как существо оказывалось максимально далеко, не ползая?

Экзотический пример №1

Оно поднималось вверх,
отталкиваясь от пола и
падало, совершая
кувырок.

Тем самым хвост
оказывался очень
далеко.

Экзотический пример №1

Оно поднималось вверх,
отталкиваясь от пола и
падало, совершая
кувырок.

Тем самым хвост
оказывался очень
далеко.

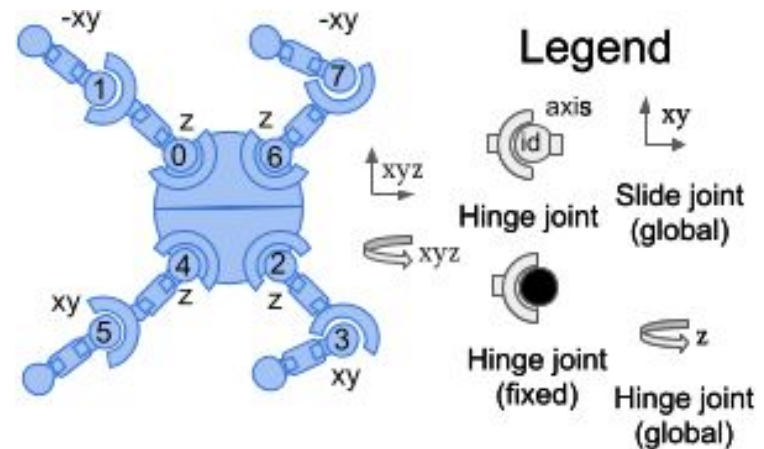


Экзотический пример №1

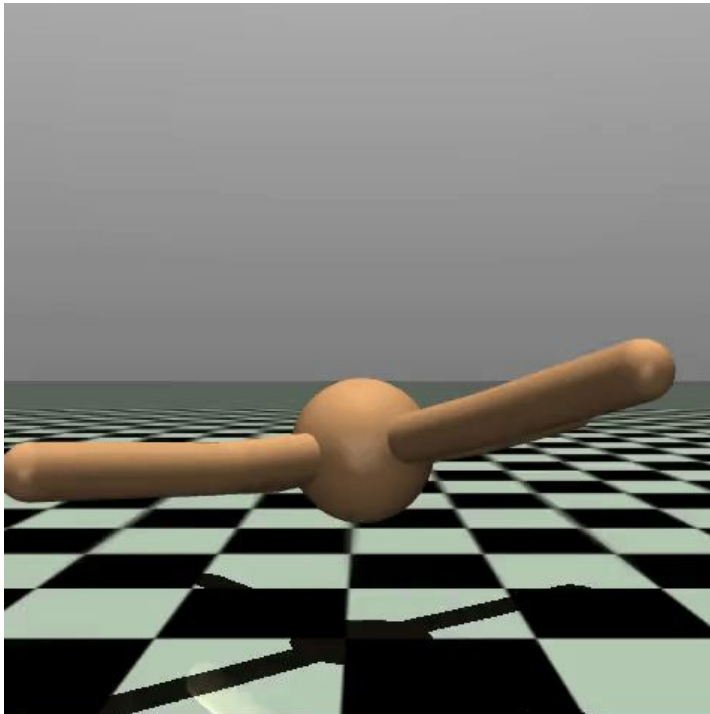
Вся проблема в том, что исследователи не поставили целью экономить энергию и снизить травмоопасность движения



Научить муравья ползать



Кто из них скользит?





сидит стоит лежит

Q-learning



Проблемы

1. Не знаем переходов
2. Много состояний

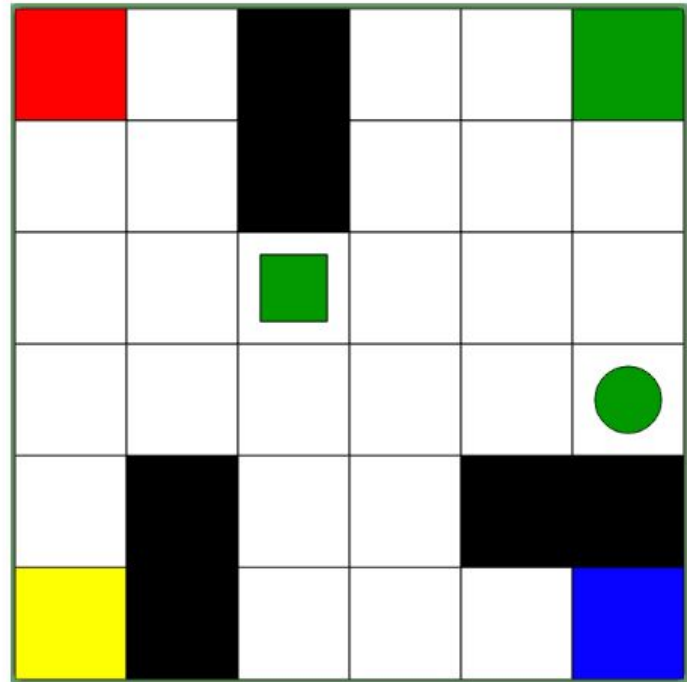
```
delta = 0.0
new_values = defaultdict(lambda: 0.0)
for state in self.mdp.get_states():
    for action in self.mdp.get_actions(state):
        new_value = 0.0
        for (new_state, probability) in self.mdp.get_transitions(state, action):
            reward = self.mdp.get_reward(state, action, new_state)
            new_value += probability * (reward + (self.mdp.get_discount_factor() * self.V[new_state]))
        self.Q[(state, action)] = new_value

# V(s) = max_a{Q(s, a)}
max_q = float('-inf')
arg_max_q = None
for action in self.mdp.get_actions(state):
    if max_q < self.Q[(state, action)]:
        max_q = self.Q[(state, action)]
        arg_max_q = action
```



Проблемы

1. Не знаем переходов
2. Много состояний

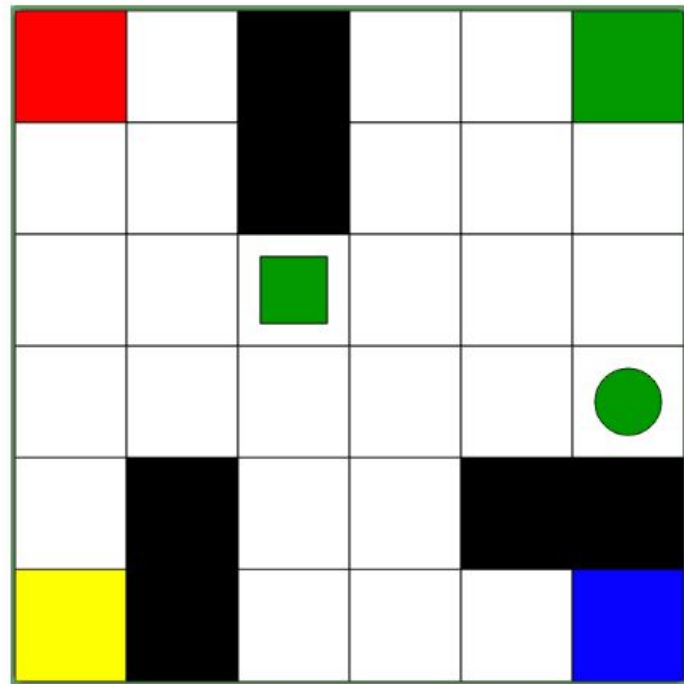




Model-free

1. Не знаем переходов
2. Много состояний

https://github.com/guiferviz/rl_udacity/tree/master/mystery_game

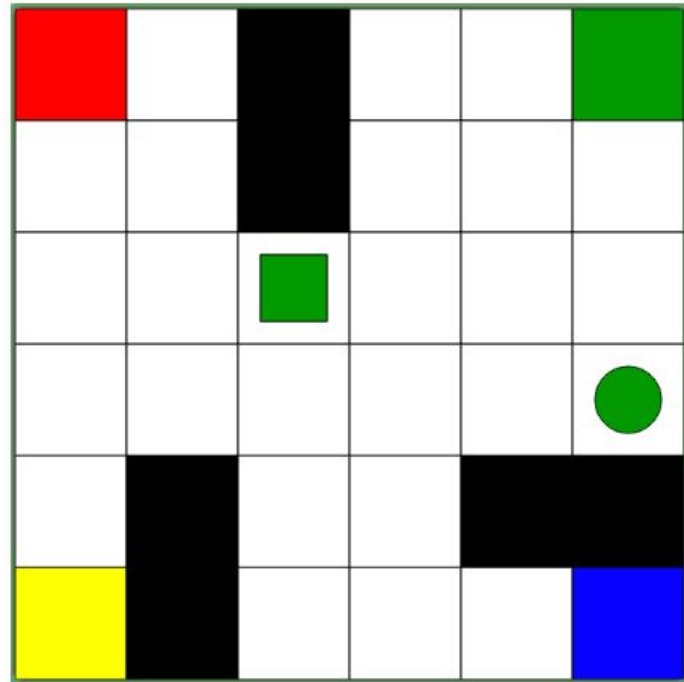




Q-learning

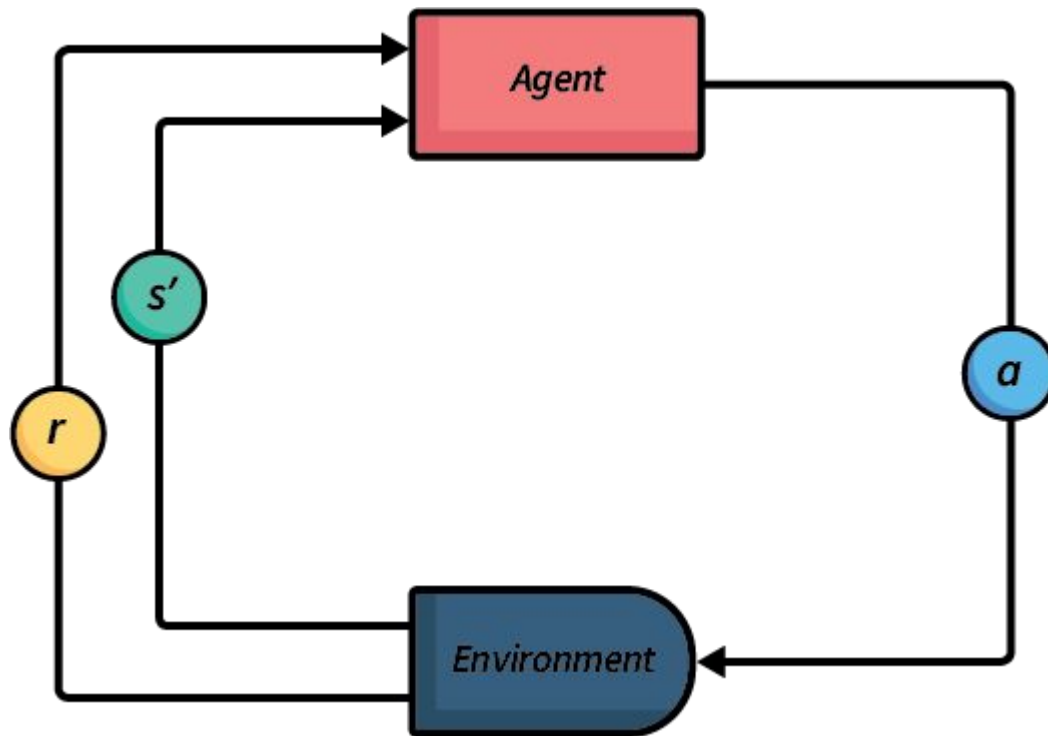
1. Не знаем переходов
2. Много состояний

https://github.com/guiferviz/rl_udacity/tree/master/mystery_game



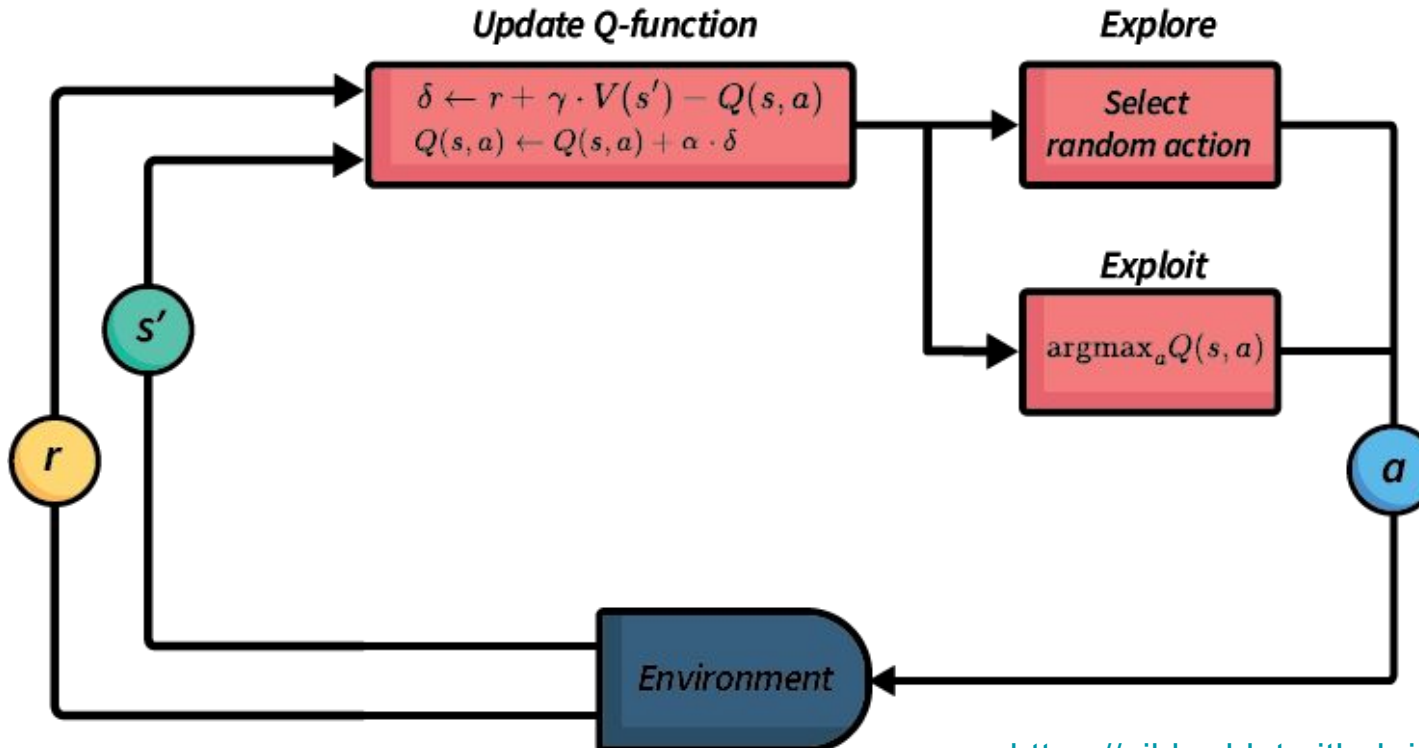


Q-learning





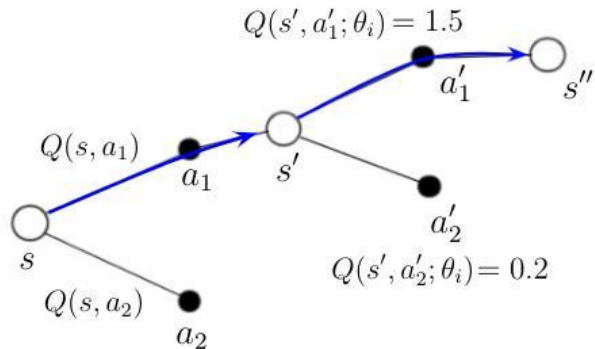
Q-learning



<https://gibberblot.github.io/rl-notes/single-agent/temporal-difference-learning.html>



Q-learning

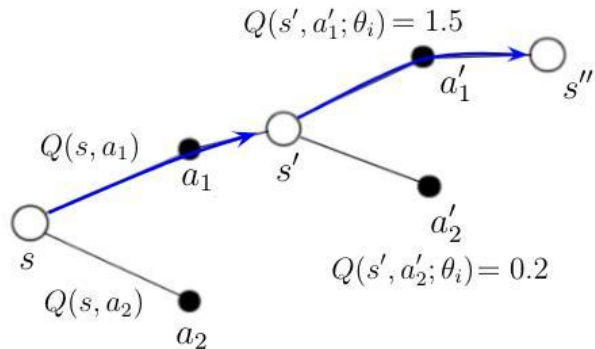


- Ищем не саму политику, а Q-функцию.
- Выручает, когда не знаем вероятности переходов

$$Q(s, a) \leftarrow r + \gamma \max_{a'} Q(s', a')$$



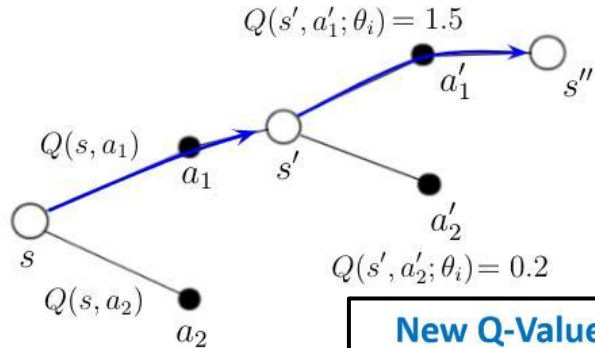
Q-learning



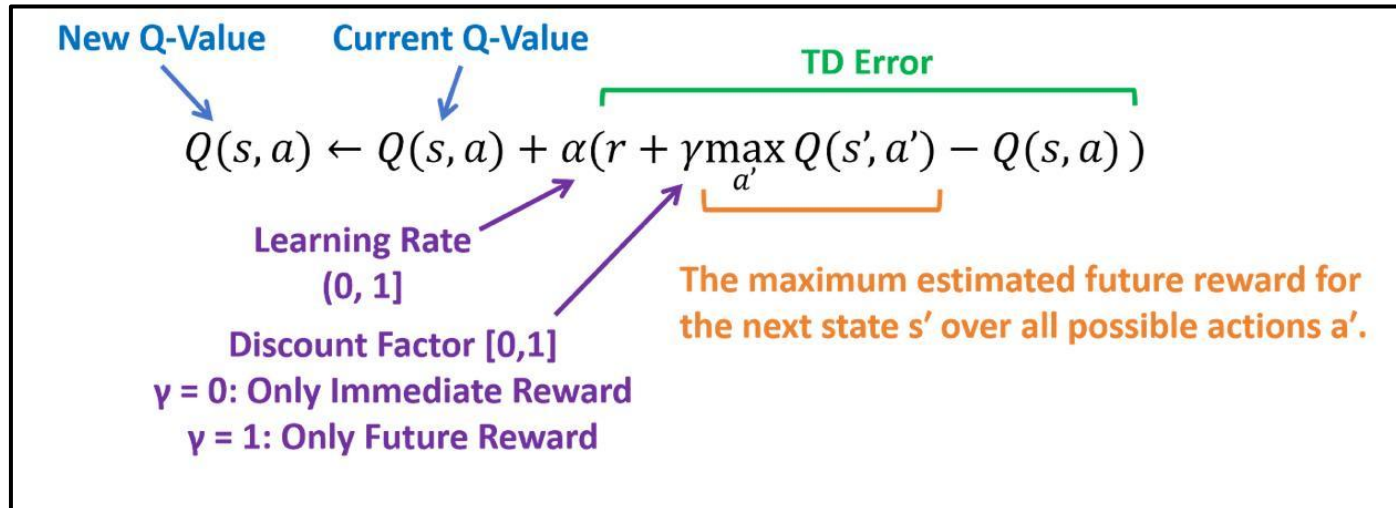
- Ищем не саму политику, а Q-функцию.
- Выручает, когда не знаем вероятности переходов

$$Q(s, a) \leftarrow r + \gamma \max_{a'} Q(s', a')$$

$V(s')$



- **Идея:** Будем более стабильны и сойдемся быстрее



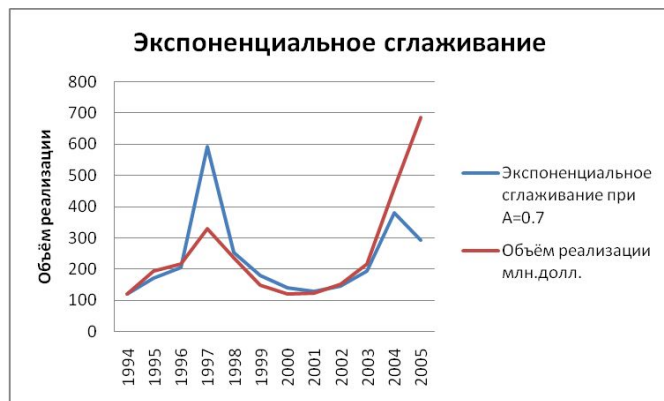


Экспоненциальное сглаживание

Экспоненциальным сглаживанием (exponential smoothing) для последовательности $x_1, x_2, x_3 \dots$ будем называть следующую оценку:

$$m_k := (1 - \alpha_k)m_{k-1} + \alpha_k x_k,$$

где m_0 — некоторое начальное приближение, последовательность $\alpha_k \in [0, 1]$ — гиперпараметр, называемый *learning rate*.



<https://www.geogebra.org/m/RgYaYxqQ>

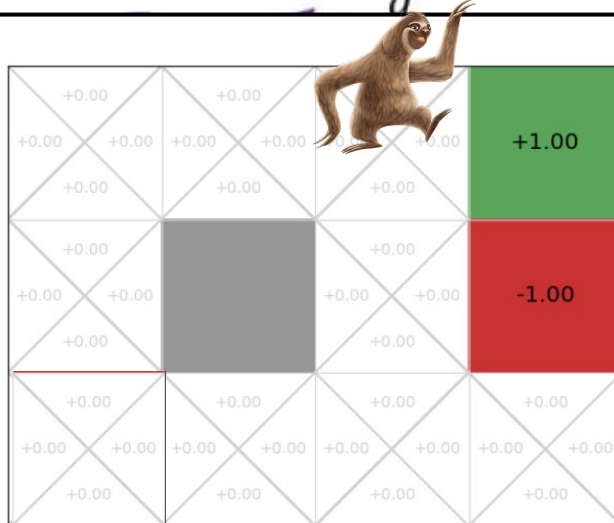


Пример

$Q(s, a) \leftarrow$

$r + \gamma \max_{a'} Q(s', a')$

State	Up	Down	Right	Left
(0, 0)	0.50	0.42	0.39	0.42
(0, 1)	0.56	0.44	0.51	0.51
(0, 2)	0.58	0.51	0.63	0.57
(1, 0)	0.09	0.18	0.06	0.43
(1, 1)	0.00	0.00	0.00	0.00
(1, 2)	0.64	0.65	0.74	0.59
(2, 0)	0.41	0.00	0.00	0.00
(2, 1)	0.69	0.09	-0.24	0.24
(2, 2)	0.79	0.61	0.90	0.65
(3, 0)	-0.02	0.00	0.00	0.00
(3, 1)	0.00	0.00	0.00	0.00
(3, 2)	0.00	0.00	0.00	0.00



$$\begin{aligned}
 Q((2, 2), Up) &\leftarrow Q((2, 2), Up) + \alpha[r + \gamma \max_{a'} Q((2, 2), a') - Q((2, 2), Up)] \\
 &\leftarrow 0.79 + 0.1[0 + 0.9 \cdot Q((2, 2), Right) - Q((2, 2), Up)] \\
 &\leftarrow 0.79 + 0.1[0 + 0.9 \cdot 0.90 - 0.79] \\
 &\leftarrow \mathbf{0.792}
 \end{aligned}$$

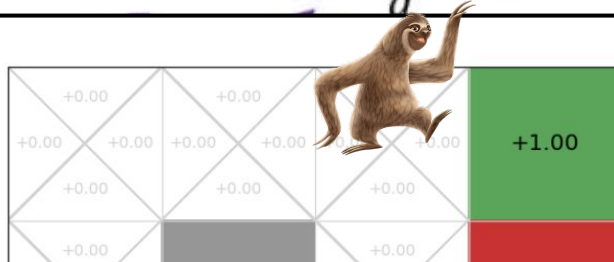
SARSA

$Q(s, a) \leftarrow$

$r + \gamma \max_{a'} Q(s', a')$



State	Up	Down	Right	Left
(0, 0)	0.50	0.42	0.39	0.42
(0, 1)	0.56	0.44	0.51	0.51
(0, 2)	0.58	0.51	0.63	0.57
(1, 0)	0.09	0.18	0.06	0.43
(1, 1)	0.00	0.00	0.00	0.00
(1, 2)	0.64	0.65	0.74	0.59
(2, 0)	0.41	0.00	0.00	0.00
(2, 1)	0.69	0.09	-0.24	0.24
(2, 2)	0.79	0.61	0.90	0.65
(3, 0)	-0.02	0.00	0.00	0.00
(3, 1)	0.00	0.00	0.00	0.00
(3, 2)	0.00	0.00	0.00	0.00



- **SARSA** обновляет Q-value на основе фактического следующего действия (которое может быть случайным).
- **Q-learning** обновляет Q-value на основе максимального Q-value следующего состояния (идеальное действие).



$$\begin{aligned}
 Q((2, 2), Up) &\leftarrow Q((2, 2), Up) + \alpha[r + \gamma \max_{a'} Q((2, 2), a') - Q((2, 2), Up)] \\
 &\leftarrow 0.79 + 0.1[0 + 0.9 \cdot Q((2, 2), Right) - Q((2, 2), Up)] \\
 &\leftarrow 0.79 + 0.1[0 + 0.9 \cdot \textcolor{red}{0.00} - 0.79] \\
 &\leftarrow \textcolor{red}{0.792} \quad \textcolor{red}{0.72}
 \end{aligned}$$

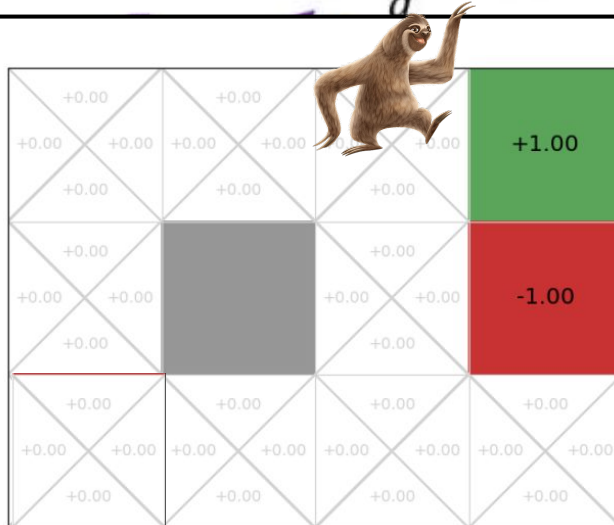
SARSA

$$Q(s, a) \leftarrow$$

$$r + \gamma \max_{a'} Q(s', a')$$

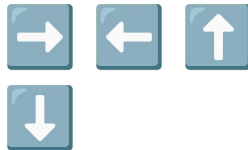


State	Up	Down	Right	Left
(0, 0)	0.50	0.42	0.39	0.42
(0, 1)	0.56	0.44	0.51	0.51
(0, 2)	0.58	0.51	0.63	0.57
(1, 0)	0.09	0.18	0.06	0.43
(1, 1)	0.00	0.00	0.00	0.00
(1, 2)	0.64	0.65	0.74	0.59
(2, 0)	0.41	0.00	0.00	0.00
(2, 1)	0.69	0.09	-0.24	0.24
(2, 2)	0.79	0.61	0.90	0.65
(3, 0)	-0.02	0.00	0.00	0.00
(3, 1)	0.00	0.00	0.00	0.00
(3, 2)	0.00	0.00	0.00	0.00

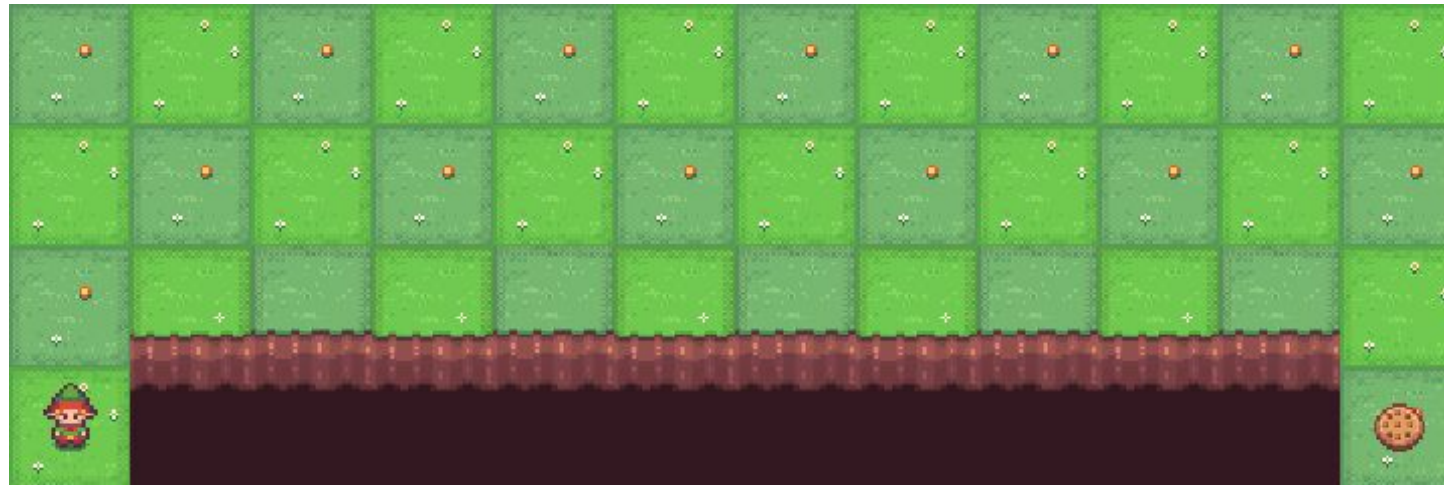


$$\begin{aligned}
 Q((2, 2), Up) &\leftarrow Q((2, 2), Up) + \alpha[r + \gamma \max_{a'} Q((2, 2), a') - Q((2, 2), Up)] \\
 &\leftarrow 0.79 + 0.1[0 + 0.9 \cdot Q((2, 2), Right) - Q((2, 2), Up)] \\
 &\leftarrow 0.79 + 0.1[0 + 0.9 \cdot \cancel{0.00} - 0.79] \\
 &\leftarrow \cancel{0.792} \quad \textcolor{red}{0.7758} \quad \textcolor{red}{0.72}
 \end{aligned}$$

Cliff World



- **Агент SARSA** (on-policy), который иногда ошибается (exploration), "поймёт", что идти рядом с обрывом опасно, потому что в одном из экспериментов он мог бы с него упасть. Он выучит более безопасный, хоть и чуть более длинный, путь.
- **Агент Q-learning** (off-policy), который всегда смотрит на "идеальное" продолжение, выучит, что ближайший путь — лучший, потому что в его уравнениях он никогда не падает с обрыва (max всегда выбирает действие, которое уводит от края).





Проблемы

- Если состояний очень много, то будет тяжело

	A0	A1	A2	A3
S0				
S1				
S2				
S3				
S4				
S5				

	A0	A1	A2	A3
S0	40			
S1	41			
S2	42			
S3	43			
S4	44			
S5	45			

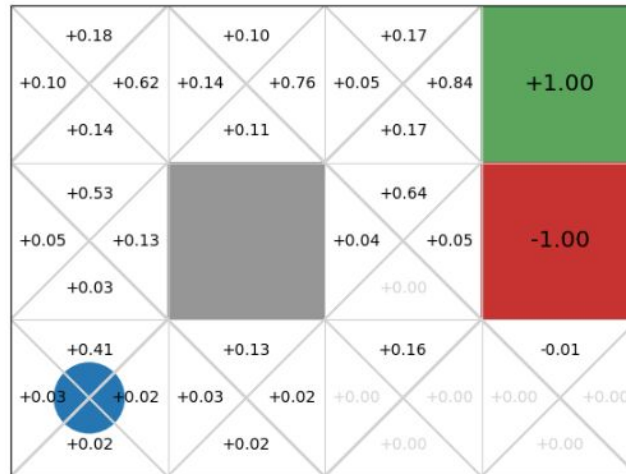
$$max_a = argmax(Q_1(s'))$$

$$\underline{Q_1(s, a) = (1 - \alpha) \cancel{Q_1(s, a)} + \alpha [r + \gamma \overline{Q_0(s', max_a)}]}$$

New Q value
Did Q value
Maximum Q value
given the next state

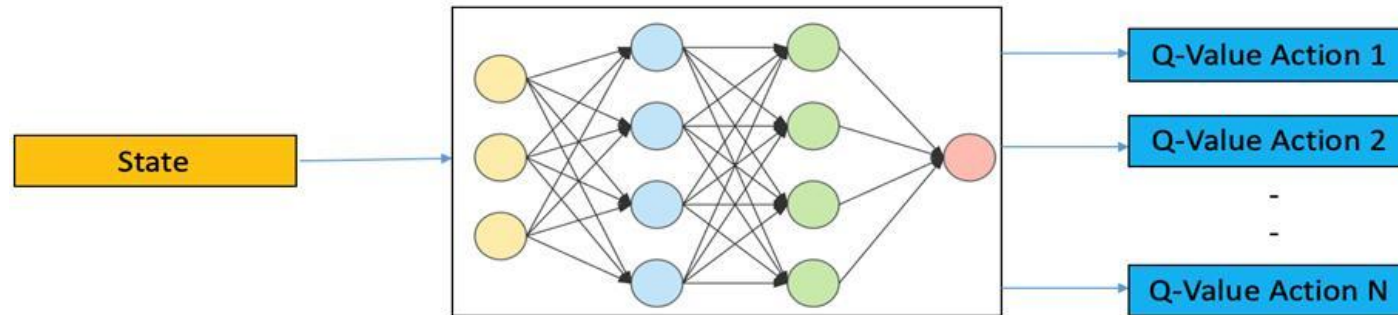
DON

$$Q(s, a) \leftarrow \underbrace{Q(s, a)}_{\text{old value}} + \overbrace{\alpha}^{\text{learning rate}} \cdot \underbrace{[r + \gamma \cdot V(s')]}_{\text{TD target}} - \overbrace{Q(s, a)}^{\text{do not count extra } Q(s, a)}$$





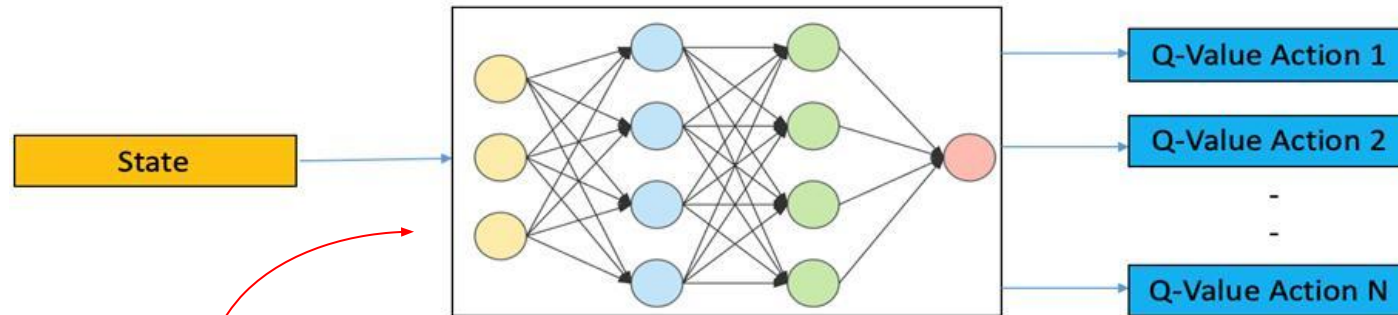
- **Сразу:** Количество состояний должно быть все равно конечно
- Архитектура:



Deep Q Learning



- **Сразу:** Количество состояний должно быть все равно конечно
- Архитектура:

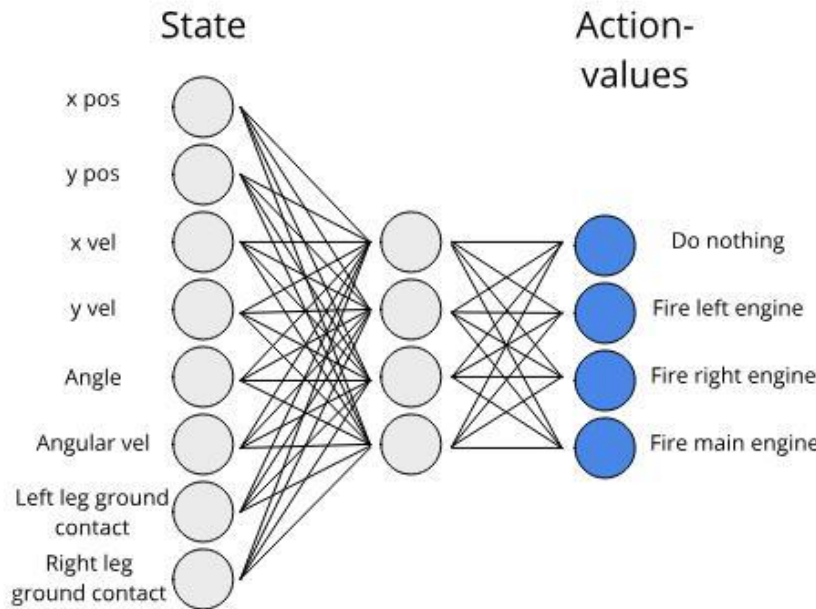


Приближаем Q
нейросетью

Deep Q Learning

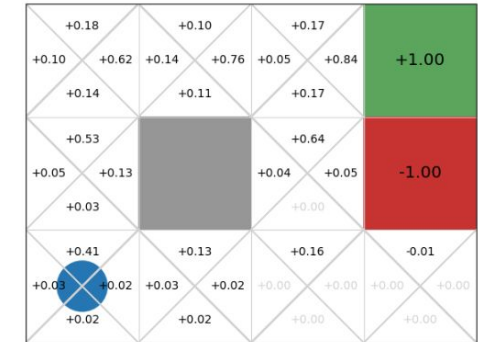
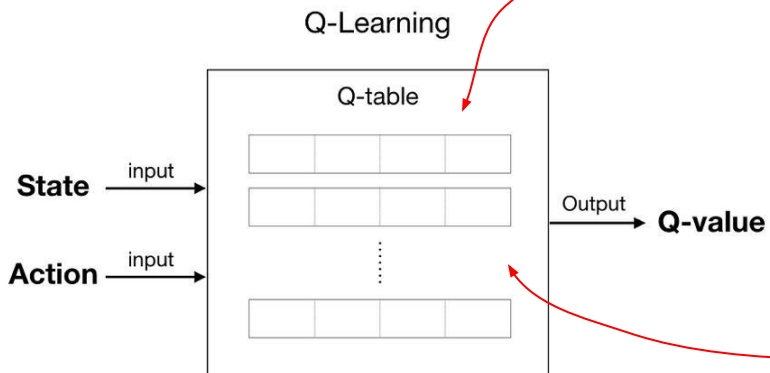


- **Сразу:** Количество состояний должно быть все равно конечно
- Архитектура:





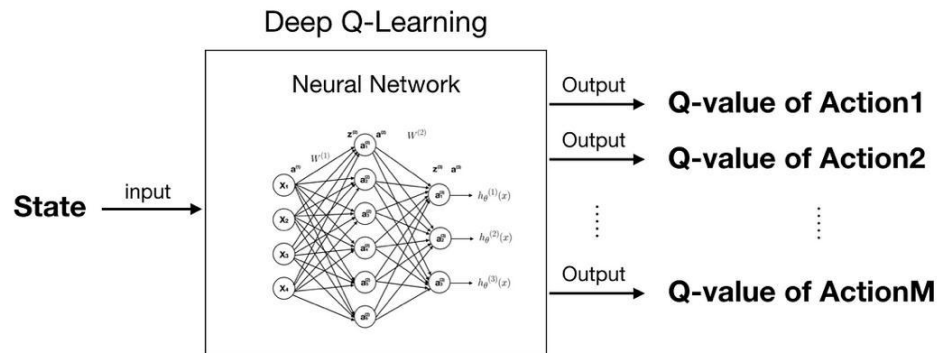
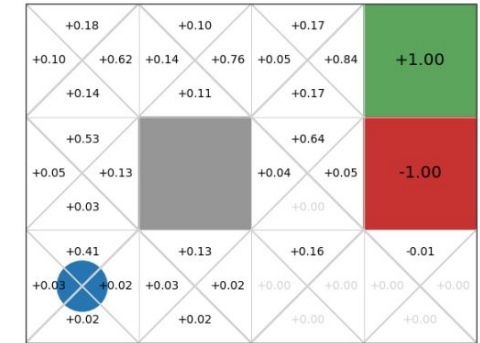
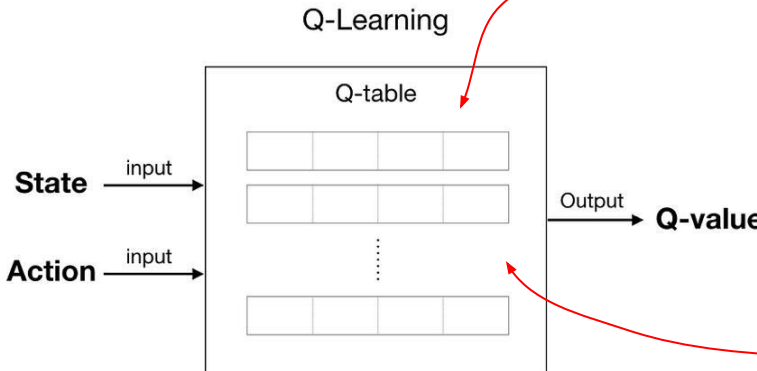
Отличия от Q-learning



State	Up	Down	Right	Left
(0, 0)	0.50	0.42	0.39	0.42
(0, 1)	0.56	0.44	0.51	0.51
(0, 2)	0.58	0.51	0.63	0.57
(1, 0)	0.09	0.18	0.06	0.43
(1, 1)	0.00	0.00	0.00	0.00
(1, 2)	0.64	0.65	0.74	0.59
(2, 0)	0.41	0.00	0.00	0.00
(2, 1)	0.69	0.09	-0.24	0.24
(2, 2)	0.79	0.61	0.90	0.65
(3, 0)	-0.02	0.00	0.00	0.00
(3, 1)	0.00	0.00	0.00	0.00
(3, 2)	0.00	0.00	0.00	0.00



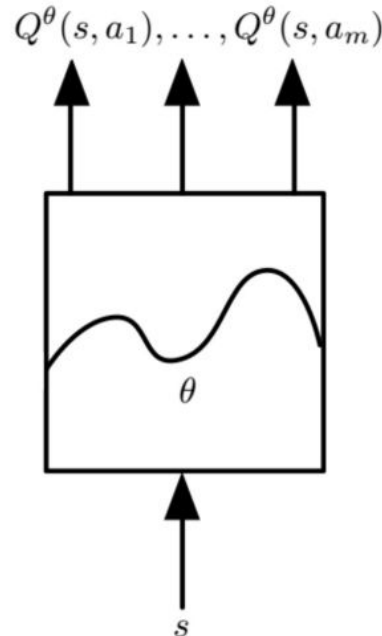
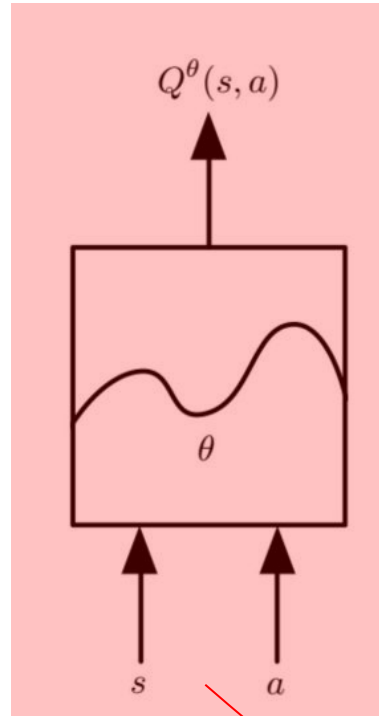
Отличия от Q-learning



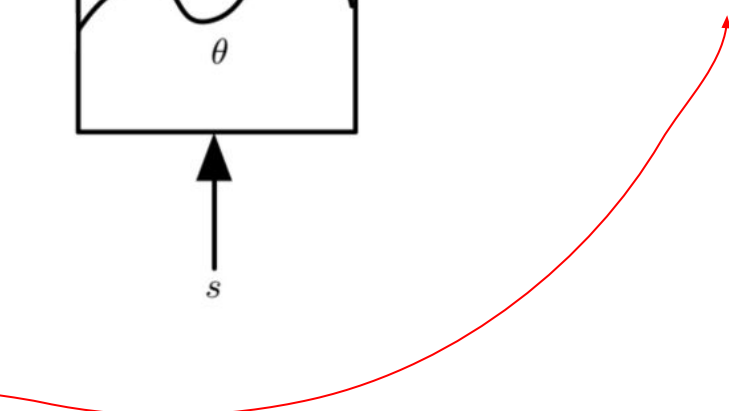
State	Up	Down	Right	Left
(0, 0)	0.50	0.42	0.39	0.42
(0, 1)	0.56	0.44	0.51	0.51
(0, 2)	0.58	0.51	0.63	0.57
(1, 0)	0.09	0.18	0.06	0.43
(1, 1)	0.00	0.00	0.00	0.00
(1, 2)	0.64	0.65	0.74	0.59
(2, 0)	0.41	0.00	0.00	0.00
(2, 1)	0.69	0.09	-0.24	0.24
(2, 2)	0.79	0.61	0.90	0.65
(3, 0)	-0.02	0.00	0.00	0.00
(3, 1)	0.00	0.00	0.00	0.00
(3, 2)	0.00	0.00	0.00	0.00



Можно и так:



Почему так обычно не делают?

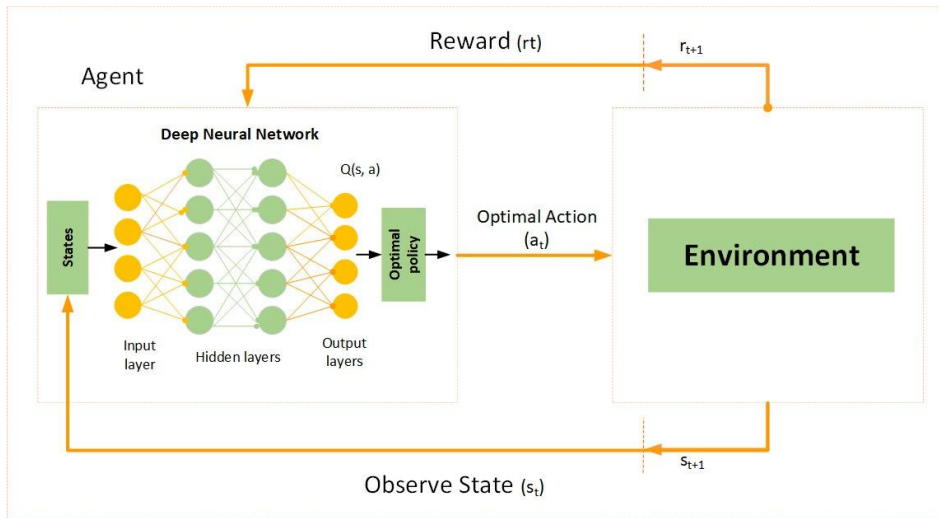




Как обучаем?

- Loss?

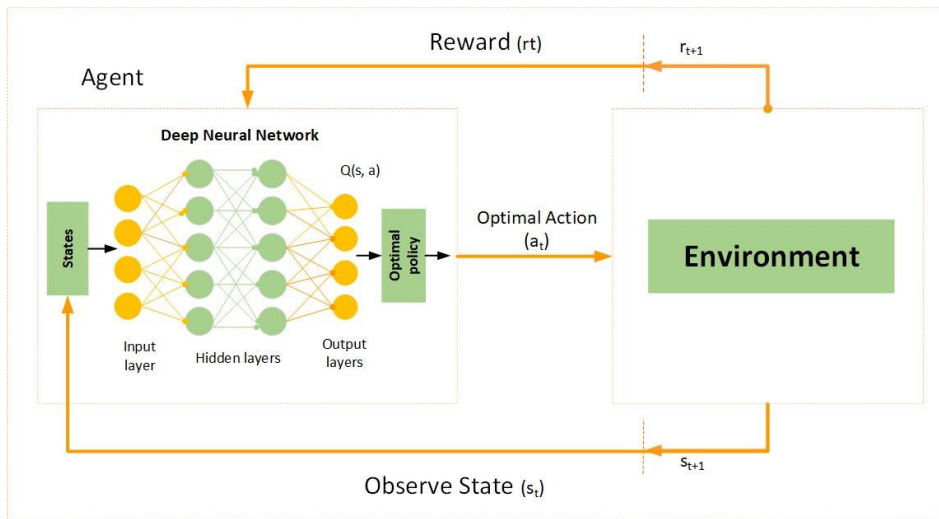
$$\left(Q_{\theta}(s, a) - r(s, a) - \gamma \mathbb{E}_{s'} \max_{a'} Q_{\theta}(s', a') \right)^2 \rightarrow \min_{\theta}$$





Как обучаем?

- Loss?



$$Q_{best}(s_t, a_t) = R_{t+1} + \gamma \max_a Q(s_{t+1}, a)$$

Estimated TD-target

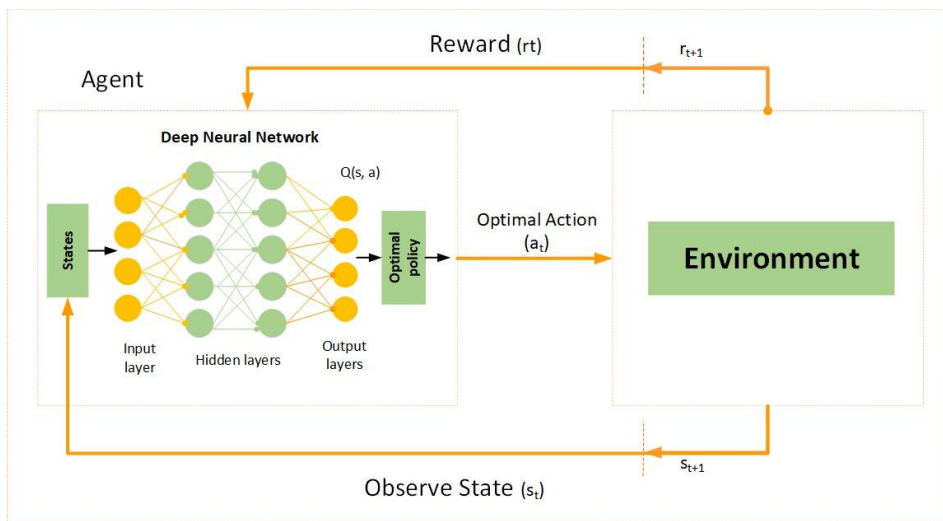
Reward	Discount factor
R_{t+1}	γ
	$\max_a Q(s_{t+1}, a)$

Maximum next-state Q-value



Как обучаем?

- Loss?



TD-target is UNKNOWN!

$$\text{Loss} = Q_{best}(s_t, a_t) - \boxed{Q(s_t, a_t)}$$

Current Q-value

Estimated TD-target

$$Q_{best}(s_t, a_t) = \boxed{R_{t+1}} + \boxed{\gamma} \max_a \boxed{Q(s_{t+1}, a)}$$

Discount factor

Reward

Maximum next-state Q-value



Как обучаем?

-

Loss?

- Инициализируем нейросеть Q^θ , $\varepsilon=1$.

- Получаем данные.

Из состояния S_t действуем $A_t \sim \pi(\cdot | S_t)$, где π - ε -жадная политика, получаем награду R_t и переходим в состояние S_{t+1} . Сохраняем набор в память: (S_t, A_t, R_t, S_{t+1}) .

- Обучаем сеть:

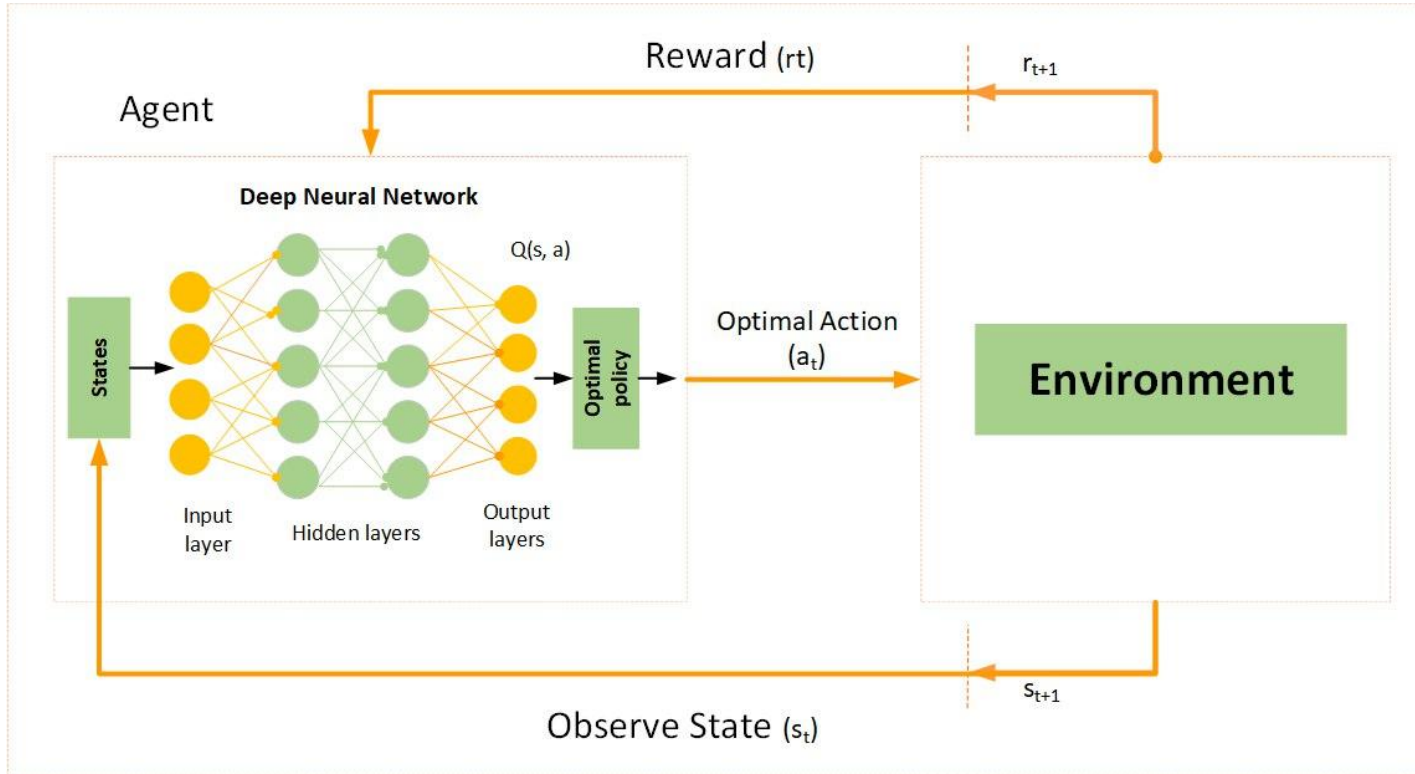
- Получаем из памяти выборку (s_j, a_j, r_j, s'_j)

- Обновляем таргеты: $y_j = \begin{cases} r_j & \text{if } s'_j \text{ final} \\ r_j + \gamma \max_{a'} Q^\theta(s'_j, a') & \text{otherwise} \end{cases}$

- $Loss(\theta) = (y_i - Q^\theta(s_i, a_i))^2$, $\theta \leftarrow \theta - \alpha \nabla_\theta Loss(\theta)$



Как обучаем?





Проблемы

- Работает плохо 😂

TD-target is UNKNOWN!

$$LostFunction = Q_{best}(s_t, a_t) - Q(s_t, a_t)$$

Current Q-value

Estimated TD-target

$$Q_{best}(s_t, a_t) = R_{t+1} + \gamma \max_a Q(s_{t+1}, a)$$

Discount factor

Reward

Maximum next-state Q-value

Причины:

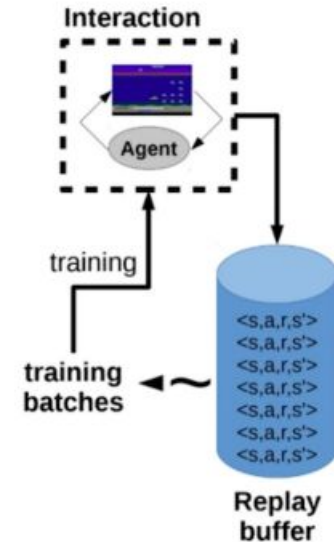
1. Соседние состояния отличаются незначительно – сильно коррелированные данные для обучения.
2. Значение таргета и значение Q-функции в лоссе предсказывает одну и ту же сеть. В ней стоит \max – предсказания слишком оптимистичны.

Улучшение 1

Replay buffer



- Наполняем Buffer:
 - Набираем данные и складываем их в Buffer (s_j, a_j, r_j, s'_j)
 - Обучаем сеть:
 - Получаем из памяти выборку (минибатч) $\{(s_j, a_j, r_j, s'_j)\}_{j=1}^n$ не последовательных, а именно случайно взятых эпизодов и учим на них.
 - Обновляем таргеты: $y_j = \begin{cases} r_j & \text{if } s'_j \text{ final} \\ r_j + \gamma \max_{a'} Q^\theta(s'_j, a') & \text{otherwise} \end{cases}$
 - $Loss(\theta) = \frac{1}{n} \sum_{i=1}^n (y_i - Q^\theta(s_i, a_i))^2, \quad \theta \leftarrow \theta - \alpha \nabla_\theta Loss(\theta)$

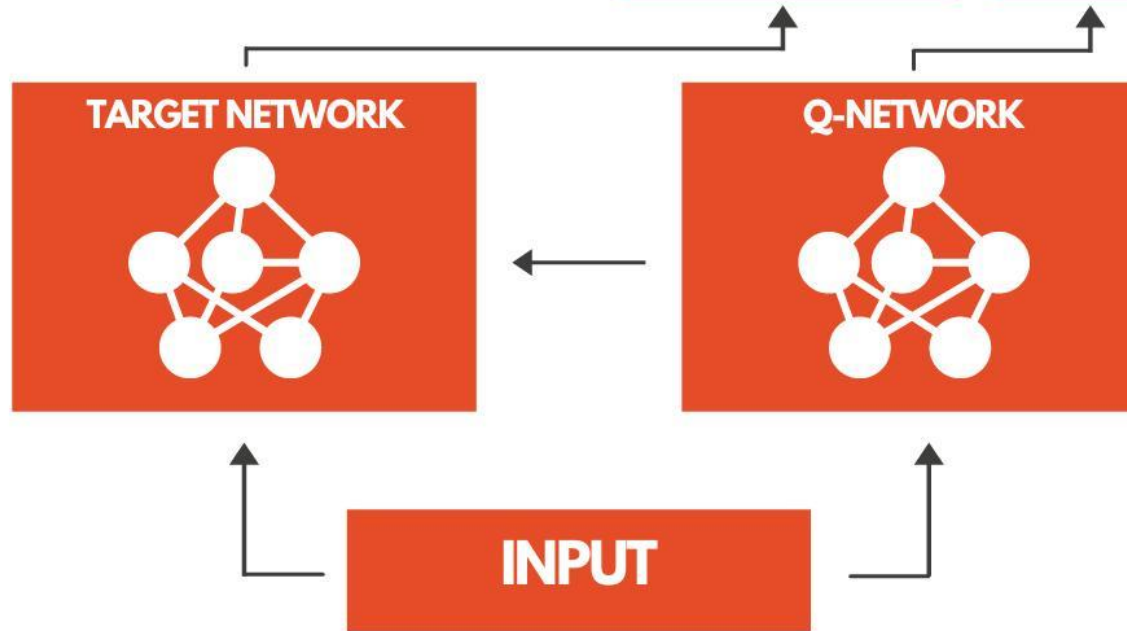


Улучшение 2



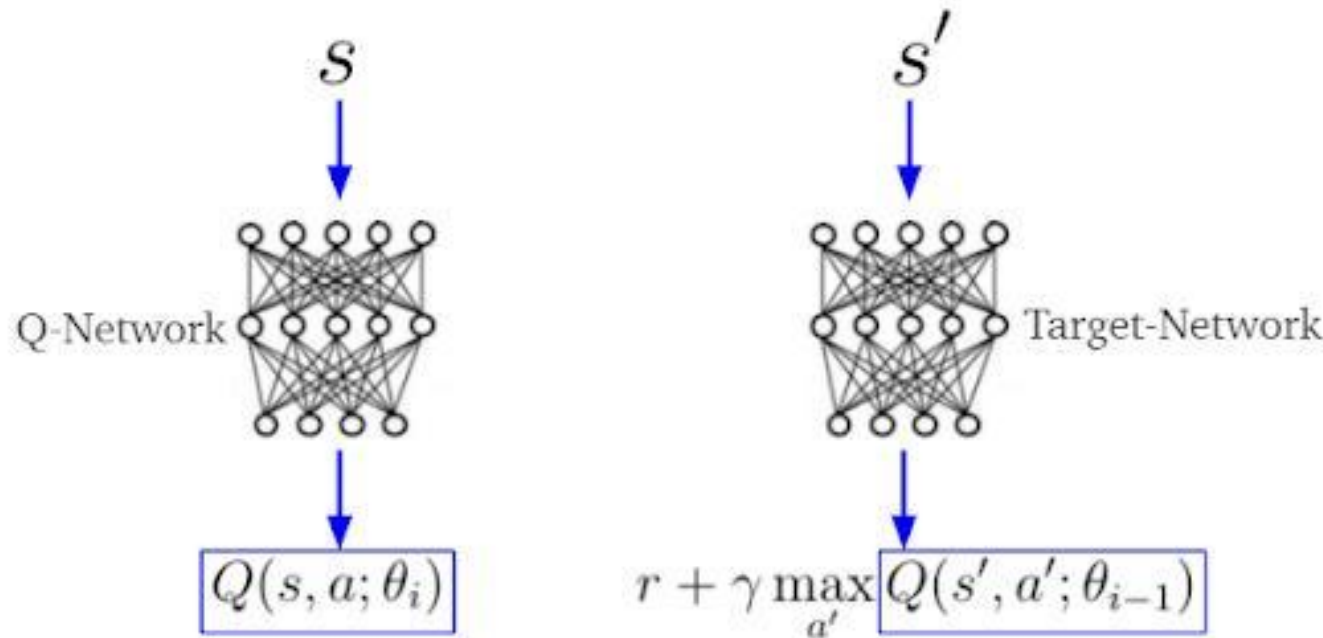
Fixed Target Network

$$Q(S_t, A_t) \leftarrow Q(S_t, A_t) + \alpha \left[R_{t+1} + \gamma \max_a Q(S_{t+1}, a) - Q(S_t, A_t) \right]$$



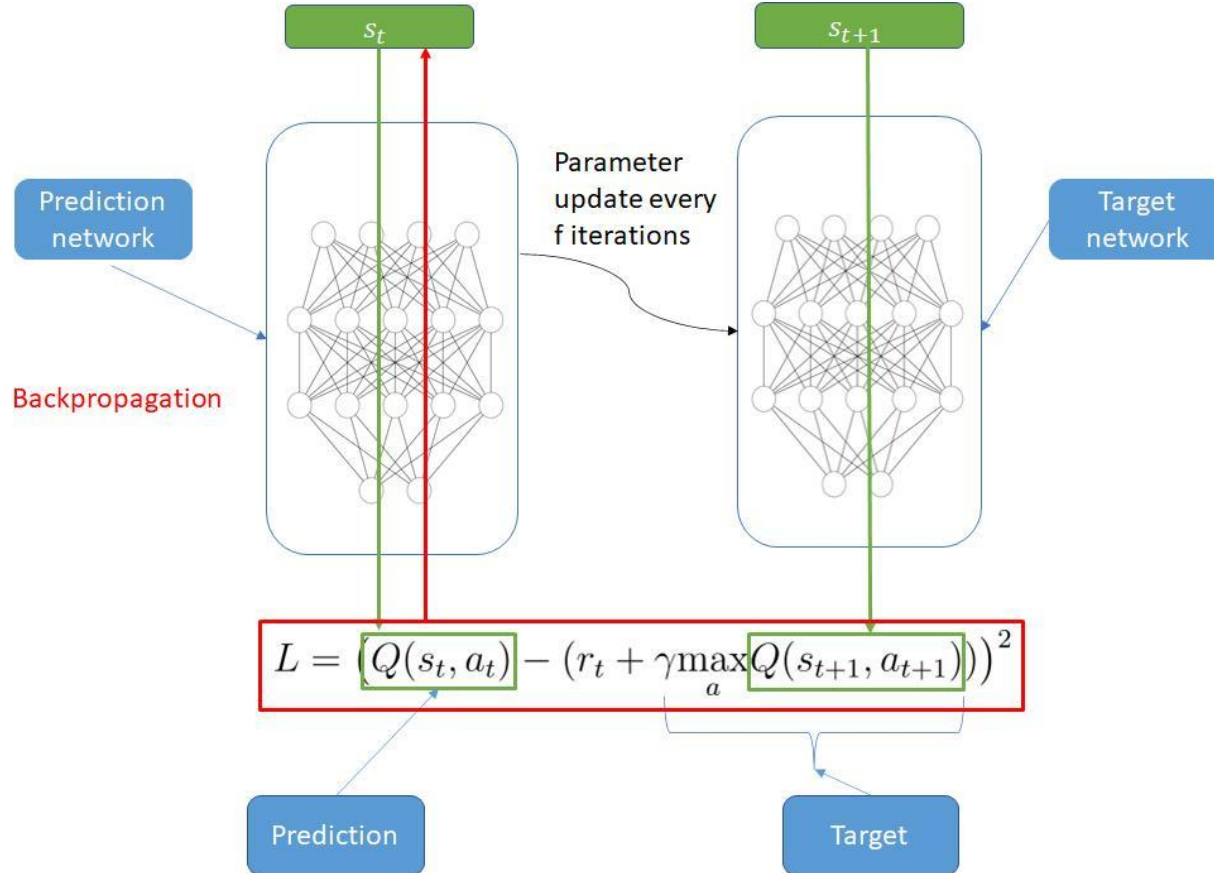


Fixed Target Network





Fixed Target Network

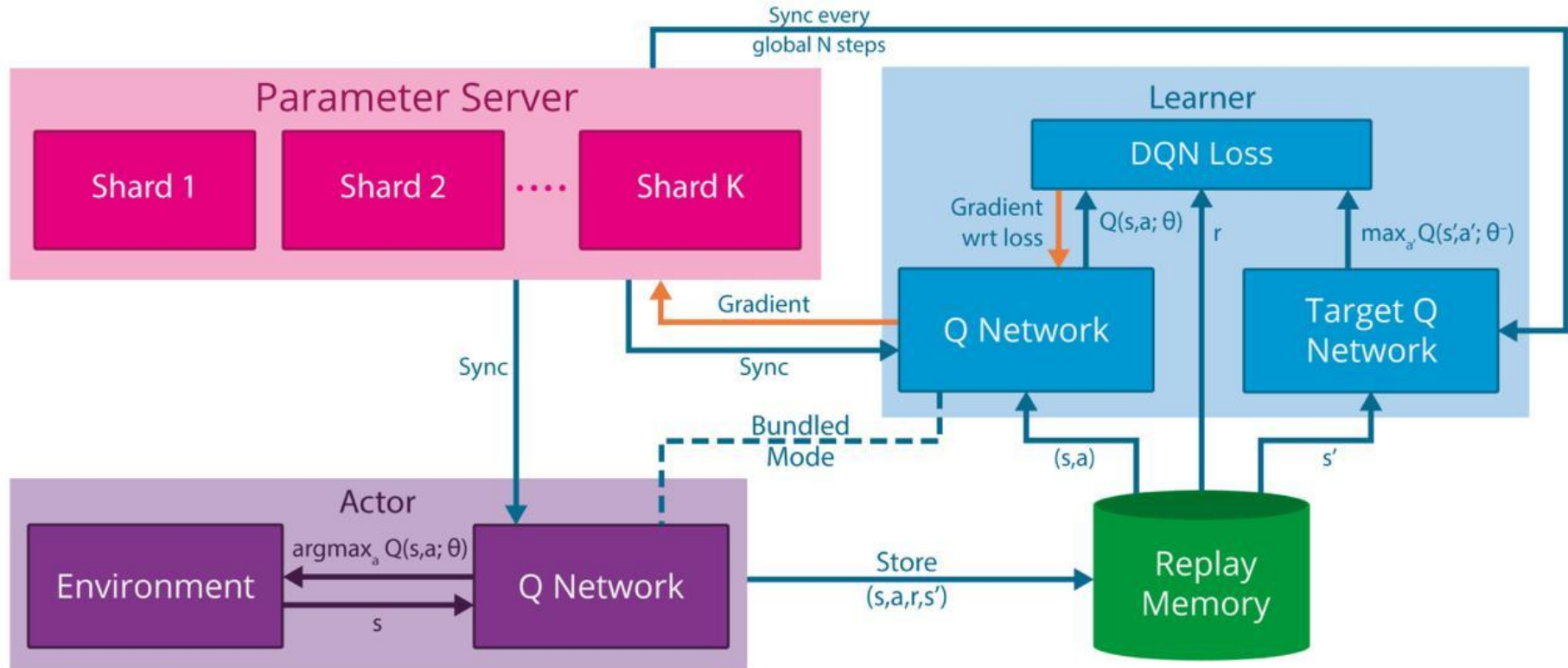




Fixed Target Network

- Вводим две сети.
 - Одна используется для вычисления таргетов.
 - Вторая контролирует величину изменений.
- Обучаем сеть:
 - Фиксируем сеть ($\theta = \theta'$) и вычисляем по ней таргеты.
 - Обновляем таргеты на другой сети: $y_j = \begin{cases} r_j & \text{if } s'_j \text{ final} \\ r_j + \gamma \max_{a'} Q^{\theta'}(s'_j, a') & \text{otherwise} \end{cases}$
 - $Loss(\theta) = \frac{1}{n} \sum_{i=1}^n (y_i - Q^\theta(s_i, a_i))^2$, $\theta \leftarrow \theta - \alpha \nabla_\theta Loss(\theta)$
 - Обновляем параметры фиксированной сети по обучаемой сети:
 - С периодичностью в несколько десятков эпизодов (*Hard target network*)
 - Берем взвешенное обновление $\theta \leftarrow \tau\theta + (1 - \tau)\theta'$ (*Soft target network*)

Все вместе



Резюме